

©1993

РЕНТГЕНОСПЕКТРАЛЬНОЕ ИССЛЕДОВАНИЕ ДИФФУЗИИ КРЕМНИЯ В ПРОЦЕССЕ ТЕРМИЧЕСКОГО ОКИСЛЕНИЯ РАЗБАВЛЕННОГО СПЛАВА AlMgSi

A. С. Шулаков, А. П. Степанов, А. П. Брайко

Исследована зависимость от энергии возбуждающих излучение электронов формы рентгеновских эмиссионных $L_{2,3}$ -полос магния, алюминия и кремния в прошедших термическую обработку на воздухе сплавах Al — 2.0 вес.% Mg (AlMg) и Al — 2.4 вес.% Mg — 0.48 вес.% Si (AlMgSi). Показано, что скорость окисления сплавов, определяемая скоростью диффузии магния к их поверхности, уменьшается примерно в 6 раз при добавлении в двойной сплав примеси кремния. Обнаружено, что в процессе термообработки атомы кремния также диффундируют к поверхности сплава, однако скапливаются вблизи межфазовой границы оксидный слой-металл. Анализ формы $L_{2,3}$ -полосы Si позволил установить, что атомы кремния вблизи межфазовой границы вступают в химическую связь с магнием, образуя соединение Mg_2Si . Сделан вывод, что химическое связывание кремнием диффундирующих к поверхности атомов магния является причиной уменьшения скорости окисления сплавов AlMgSi при добавлении в них кремния.

Процесс окисления разбавленных сплавов AlMg и AlMgSi был исследован в работах [1–4] методом ультрамягкой рентгеновской эмиссионной спектроскопии с варьированием энергии электронного возбуждения спектров. В этих работах было обнаружено, что окисление сплавов при термической обработке на воздухе сопровождается диффузией магния к поверхности и образованием слоя оксида MgO . Кинетика окисления сплава AlMg была исследована в [3]. Было отмечено, что при большом сходстве процессов окисления двойных и тройных сплавов скорость окисления сплавов, содержащих кремний, оказывается ниже, чем двойных сплавов AlMg [4]. Однако механизм влияния примеси кремния на протекание процесса окисления в [1–4] не изучался. В данной работе мы попытаемся ликвидировать этот пробел.

Образцы сплавов Al — 2.0 вес.% Mg (AlMg) и Al — 2.4 вес.% Mg — 0.48 вес.% Si (AlMgSi) подвергались термической обработке на воздухе в диапазоне температур 200–620 °C продолжительностью от 0.5 до 2.0 ч. Прошедшие термическую обработку образцы помещались на анод рентгеновской трубы спектрометра для проведения рентгеноспектрального исследования. Регистрировались $L_{2,3}$ -эмиссионные полосы Mg, Al и Si при различных ускоряющих напряжениях рентгеновской трубы. Этот прием позволял проводить неразрушающий анализ распределения химического состава поверхностных слоев сплавов по глубине. Методика рентгеноспектральных исследований была такой же, как и в работах [3, 4].

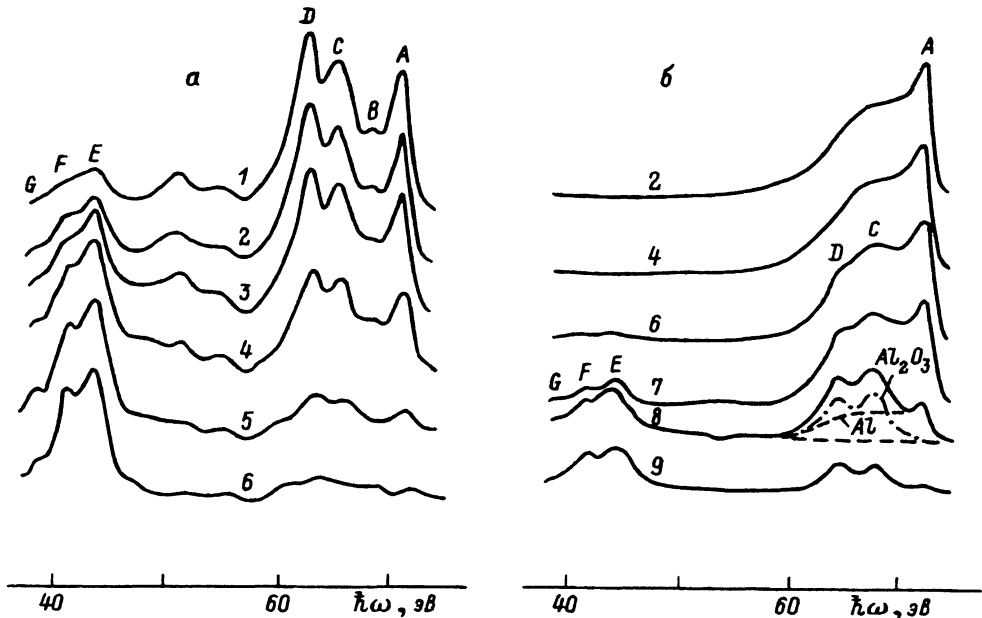


Рис. 1. Зависимость формы эмиссионного спектра сплавов AlMg (а) и AlMgSi (б) от энергии первичных электронов E .

Сплавы прошли термическую обработку на воздухе продолжительностью $t=1$ ч при температуре $T = 470^\circ \text{C}$. E , кэВ: 1 — 7.0, 2 — 6.0, 3 — 4.0, 4 — 3.0, 5 — 2.0, 6 — 1.0, 7 — 0.8, 8 — 0.5, 9 — 0.35.

Энергетическое разрешение спектрометра в области $L_{2,3}$ -полосы Mg составляло 0.3 эВ, Al — 0.8 эВ, Si — 1.2 эВ. Для анализа полученных результатов использовались представления, развитые в работе [5].

Спектры сплавов, не прошедших термической обработки, состоят только из $L_{2,3}$ -полосы алюминия, практически не отличающейся по форме от полосы в чистом металле. Интенсивность $L_{2,3}$ -полос Mg и Si настолько низка, что их исследование оказывается невозможным. Заметные изменения состава поверхностных слоев сплавов возникают лишь при нагреве образцов до температур, превышающих 400°C . На рис. 1 показаны $L_{2,3}$ -полосы Al и Mg в сплавах AlMg и AlMgSi, прошедших одинаковую термическую обработку на воздухе (температура $T=470^\circ \text{C}$, длительность прогрева $t=1$ ч). Полоса Mg расположена в области энергии фотонов 37–50 эВ, полоса Al — 60–75 эВ. Для зондирования химического состава образцов по глубине менялась энергия первичного электронного пучка E (глубина выхода излучения растет с увеличением энергии возбуждающих его электронов).

Полоса Mg состоит из трех максимумов (G, F, E) и по форме соответствует $L_{2,3}$ -полосе Mg в MgO [6]. Рис. 1 наглядно свидетельствует о том, что в процессе термической обработки происходит диффузия атомов Mg из объема к поверхности с последующим окислением, в результате чего на поверхности сплавов образуется слой оксида MgO. В AlMgSi полоса Mg заметна только при низких энергиях электронного возбуждения ($E < 1.0$ кэВ), в AlMg — при всех использованных значениях энергии первичного пучка (до 7.0 кэВ).. Такая закономерность означает, что слой

оксида MgO , образовавшийся на поверхности двойного сплава, гораздо толще, чем на поверхности тройного сплава. Оценка по методике, предложенной в [5], показывает, что толщина оксидного слоя на поверхности $AlMg$ (9 ± 1 нм) примерно в 6 раз больше, чем на поверхности $AlMgSi$ (60 ± 6 нм). Таким образом, небольшая добавка Si в $AlMg$ примерно в 6 раз уменьшает скорость окисления сплава.

При низких энергиях возбуждения $L_{2,3}$ -спектр Al в $AlMgSi$ является суперпозицией полос Al в чистом металле и в оксиде Al_2O_3 (разложение экспериментального спектра на эти составляющие показано на рис. 1 для $E = 0.5$ кэВ). Максимум A является главным максимумом полосы металла, а максимумы C и D — оксида. Видно, что на поверхности сплава ($E = 0.35$ кэВ) присутствует как MgO , так и Al_2O_3 . Сравнивая спектры, полученные при $E = 0.35$ и $E = 0.5$ кэВ, можно заметить, что интенсивность полосы Al_2O_3 возрастает при увеличении энергии возбуждения, а интенсивность полосы MgO практически не изменяется. Это означает, что концентрация MgO на поверхности сплава выше, чем концентрация Al_2O_3 . Излучение неокисных слоев сплава, расположенных глубже слоя поверхностных оксидов, отчетливо появляется при энергии возбуждения 0.5–0.8 кэВ.

Форма $L_{2,3}$ -полосы Al в $AlMg$ оказывается более сложной, состоящей из четырех максимумов A, B, C, D , и не описывается суперпозицией полос чистого металла и оксида Al_2O_3 . Можно показать, что форма полосы определяется эффектом поглощения выходящего характеристического излучения алюминия относительно толстым слоем оксида MgO , формирующимся на поверхности сплава. Действительно, по данным [6], $L_{2,3}$ -спектр поглощения магния в MgO имеет тонкую структуру в области 60–75 эВ. Проходя через слой MgO , сформировавшийся в результате диффузии магния на поверхности сплава $AlMg$, характеристический $L_{2,3}$ -спектр металлического алюминия искажается, причем наблюдаемые в распределении интенсивности минимумы по энергетическому положению соответствуют максимумам спектра поглощения. По внешнему виду искаженная таким образом полоса алюминия случайно напоминает суперпозицию $L_{2,3}$ -полос алюминия в чистом металле и в Al_2O_3 . Такое совпадение привело к ошибке интерпретации экспериментальных результатов, допущенной в работе [3].

$L_{2,3}$ -полоса кремния имеет энергию, примерно на 20 эВ большую, чем энергия $L_{2,3}$ -полосы алюминия. Она попадает на тот участок спектра алюминия, в котором обнаружен сателлит кратной ионизации основной полосы [7,8]. Поскольку концентрация кремния в тройном сплаве мала, трудно ожидать большой интенсивности его полосы даже при наличии диффузии из объема к поверхности в процессе термической обработки. Поэтому для выделения излучения кремния необходимо знать детальное распределение в этом спектральном диапазоне излучения алюминия. Для этой цели нами были исследованы спектры металлического алюминия и оксида Al_2O_3 . Результаты исследования показаны на рис. 2.

Полосы A являются сателлитами кратной ионизации $L_{2,3}$ -полосы алюминия. Их форма, так же как и форма основных полос, зависит от химического состояния атомов алюминия. В целом форма полос сателлитов сходна с формой основных полос. Различие состоит в увеличении относительной интенсивности низкоэнергетической части полос сателлитов по сравнению с основными полосами. Это искажение, очевидно, связано

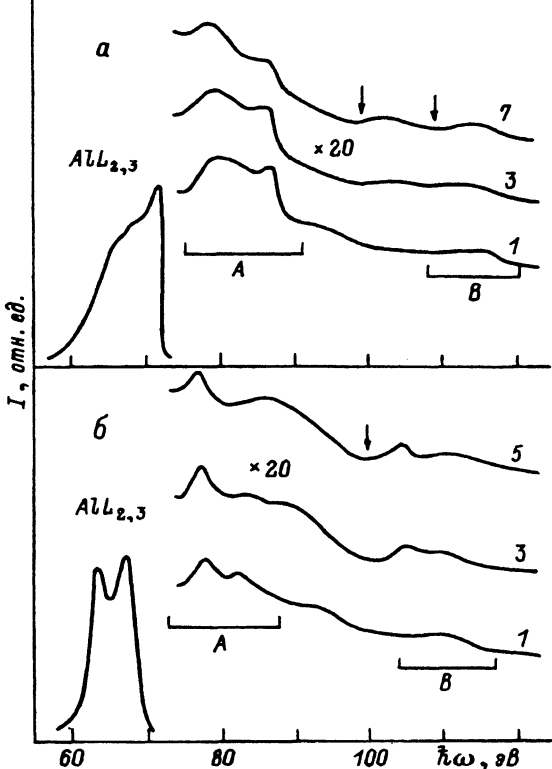


Рис. 2. Спектры излучения металлического алюминия (а) и оксида Al_2O_3 (б), полученные при различных энергиях возбуждения E . Числа у кривых — энергия электронов (кэВ).

с влиянием дополнительной вакансии, в поле которой происходит рентгеновский переход. В этом случае для интерпретации формы спектров применяется так называемая модель начального состояния, учитывающая присутствие дырки [9].

Дополнительная дырка, являющаяся причиной появления сателлитов кратной ионизации, может появиться в результате Оже-процессов $KL_1L_{2,3}$, $KL_{2,3}L_{2,3}$, $KL_{2,3}V$, $L_1L_{2,3}V$ (V обозначает дырку в валентной зоне), начальные состояния которых создаются электронным ударом, а в конфигурации конечных присутствует вакансия на уровне $L_{2,3}$. Из рис. 2 следует, что сателлит кратной ионизации существует и при энергии электронного возбуждения, не достаточной для ионизации K -оболочки алюминия (энергия связи $1s$ -уровня примерно 1500 эВ). Поэтому начальным состоянием для излучения сателлита является $L_{2,3}V$ (результат Оже-распада L_1 -вакансии). Полоса B на рис. 2 соответствует переходам электронов на вакансию в L_1 (2s)-оболочке алюминия. Низкая интенсивность этой полосы связана, по-видимому, с большой вероятностью безрадиационного заполнения 2s-состояния.

При увеличении энергии электронов первичного пучка в спектрах излучения появляются минимумы. Они совпадают по энергии с максимумами спектров поглощения металлического алюминия и Al_2O_3 , положение которых обозначено на рис. 2 стрелками. Поэтому такие изменения формы спектров можно связать с эффектом самопоглощения выходящего излучения в материале образцов.

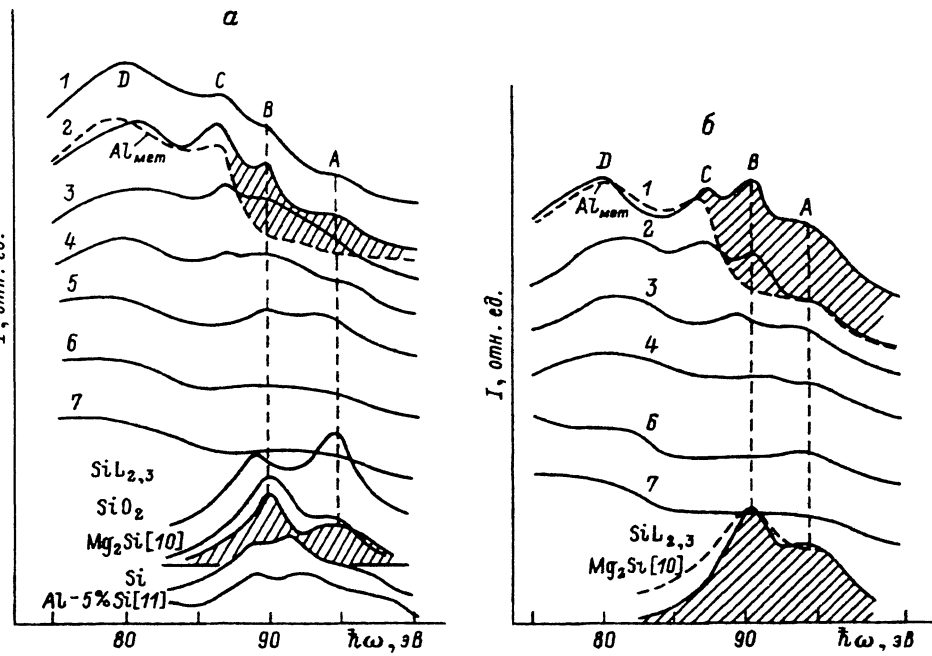


Рис. 3. Зависимости формы эмиссионного спектра сплава AlMgSi, прошедшего термообработку $T = 470^\circ\text{C}$ продолжительностью $t = 1$ (а) и 2 ч (б), от энергии первичных электронов.

Сравнительный анализ формы $L_{2,3}$ -полосы кремния (заштрихованные области). E , кэВ: 1 — 5.0, 2 — 3.0, 3 — 1.0, 4 — 0.8, 5 — 0.65, 6 — 0.5, 7 — 0.35.

Рассмотрим теперь участок спектра излучения сплава AlMgSi, включающий в себя $L_{2,3}$ -полосу кремния. На рис. 3, а, б показаны зависимости формы спектров тройного сплава от энергии первичных электронов в указанном диапазоне длин волн для разных режимов термообработки. С повышением энергии электронов в спектрах постепенно формируется структура, состоящая из четырех максимумов: А, В, С и Д. Максимумы С и Д оказываются близкими по энергии к расположению максимумов сателлита кратной ионизации $L_{2,3}$ -полосы металлического алюминия (рис. 2). Максимумы А и В в спектре двойного сплава и в спектре тройного сплава, не прошедшего термической обработки, отсутствуют. По-видимому, именно эти максимумы принадлежат $L_{2,3}$ -полосе кремния. Их появление в спектре после термообработки указывает на активацию диффузии атомов кремния из объема к поверхности образцов в процессе термообработки.

Однако диффузия кремния отличается от диффузии магния прежде всего тем, что кремний в заметных количествах на самой поверхности сплава отсутствует (максимумы А и В исчезают при понижении энергии возбуждения). Эти максимумы формируются при увеличении глубины зондирования вместе со структурой, характерной для сателлитов кратной ионизации полосы металлического алюминия (максимумы С и Д). Поэтому есть основание предполагать, что атомы кремния, диффундируя к поверхности, скапливаются вблизи нижней границы оксидного слоя.

Для того чтобы ответить на вопрос о том, в каком химическом состоянии находятся атомы кремния, попытаемся оценить форму $L_{2,3}$ -полосы. Поскольку контрастность и интенсивность спектра кремния малы, оценка будет вносить качественный характер.

Для выделения излучения кремния попытаемся «вписать» в спектры сплава сателлитную полосу $L_{2,3}$ -спектра металлического алюминия, выравнивания интенсивности максимумов D . На рис. 3, *a*, *b* этой процедуре соответствуют штриховые сателлитные полосы. Заштрихованная часть соответствует разности между спектрами сплава и полосой сателлита кратной ионизации. Она дает оценку формы $L_{2,3}$ -полосы кремния и показана на рисунках внизу.

В каком химическом окружении могут находиться атомы кремния? Наиболее вероятные варианты ближайшего окружения — атомы алюминия, магния, кремния и кислорода. Поэтому для сравнительного анализа формы полосы кремния в соответствующих соединениях и сплавах. На рис. 3, *a* изображены $L_{2,3}$ -полосы кремния в интерметаллиде Mg_2Si [10], твердом растворе $Al - 5\% Si$ [11], оксида SiO_2 и чистом кремнии (последние получены в настоящей работе).

Видно, что выделенный спектр по форме и энергетическому расположению максимумов больше всего сходен с $L_{2,3}$ -полосой кремния в Mg_2Si . Следовательно, на основе рентгеноспектральных данных можно сделать вывод о том, что кремний, расположенный в области интерфейса металла-оксид, находится в химическом соединении с магнием Mg_2Si .

Как следует из рис. 3, *b*, увеличение длительности термообработки приводит к увеличению толщины слоя, содержащего Mg_2Si , причем его нарастание происходит вглубь от межфазовой границы оксид-металл. Об этом свидетельствует увеличение интенсивности и контрастности полосы кремния (максимумы *A* и *B*) для энергии возбуждения $E = 5.0$ кэВ в сплаве $AlMgSi$, прошедшем термообработку длительностью $t = 2$ ч (рис. 3, *b*) по сравнению со сплавом, прогретым в течение 1 ч (рис. 3, *a*). Такая же тенденция наблюдается и при повышении температуры прогрева образцов. Для условий термообработки $T = 470^\circ C$, $t = 1$ ч (рис. 3, *a*) толщина обогащенного соединением Mg_2Si слоя составляет примерно 100 нм.

Из общих соображений видно, что форма $L_{2,3}$ -спектра магния в Mg_2Si должна отличаться от таковой в MgO . Однако, поскольку концентрация Mg_2Si в области межфазовой границы невелика и значительно меньше концентрации магния в слое поверхностных оксидов, выделить вклад слабой полосы Mg_2Si на фоне интенсивной полосы MgO не удалось.

Полученные данные позволяют представить процесс термического окисления сплава $AlMgSi$ следующим образом. При нагреве выше $400^\circ C$ значительно активируется диффузия магния и кремния из объема к поверхности сплава. Атомы магния, проходя сквозь слой естественного оксида Al_2O_3 , выходят на поверхность сплава и, соединяясь с кислородом, образуют слой оксида MgO . Различие кристаллической структуры оксидов MgO и Al_2O_3 , а также длины связей $Mg-O$ и $Al-O$ может приводить к возникновению микротрещин и микропор в слое смешанного оксида $MgO-Al_2O_3$, ускоряющих процесс окисления. Скорость окисления поэтому определяется скоростью диффузии атомов магния к слою поверхностных оксидов. Атомы кремния диффундируют к поверхности с меньшей скоростью и не появляются ни в оксидном слое, ни на поверхности сплава. Повышенная концентрация атомов кремния наблюдается в слоях сплава, примыкающих к границе с оксидом. При этом атомы крем-

ния находятся в химической связи с диффундирующими к поверхности атомами магния, образуя интерметаллическое соединение Mg_2Si . Химическое связывание значительно понижает скорость поступления атомов магния в слой поверхностных оксидов и тем самым уменьшает скорость окисления сплава AlMgSi по сравнению с двойным сплавом AlMg.

Список литературы

- [1] Kertesz L., Kojnok J., Szasz A. // Rec. Dev. in Cond. Matter Phys. / Ed J.T. De Vreee, L.F. Lemmens, V.E. Van Doren, J. Van Royen. Plenum Publ. Corp., 1981. V. 2. P. 89–94.
- [2] Kojnok J., Szasz A., Kertesz L., Shulakov A. // Phys. Status Solidi. 1981. V. A72. P. 131–134.
- [3] Шулаков А.С., Степанов А.П., Атиех Д., Сас А. // Физ. мет. и металловед. 1986. Т. 62. № 6. С. 1136–1143.
- [4] Шулаков А.С., Степанов А.П., Атиех Д. // ФТТ. 1987. Т. 29. № 1. С. 241–243.
- [5] Shulakov A.S. // Cryst. Res. Technol. 1988. V. 23. N 6. P. 835–838.
- [6] Фомичев В.А., Жукова И.И. // ФТТ. 1968. Т. 10. № 12. С. 3753–3755.
- [7] Aita O., Sagawa T.J. // Phys. Soc. Jap. 1969. V. 27. N 1. P. 164–175.
- [8] Neddermeyer H., Wiech G. // Phys. Lett. 1970. V. A31. P. 17–18.
- [9] Barth U., Grossman G. // Sol. State Commun. 1979. V. 32. N 8. P. 645–649.
- [10] Harrison R. // Phil. Mag. 1970. V. 22. N 175. P. 131–134.
- [11] Das Gupta K., Wood E. // Phil. Mag. 1975. V. 46. N 372. P. 77–86.

Санкт-Петербургский
государственный университет

Поступило в Редакцию
25 февраля 1993 г.